

В.И.Спиваков, Э.А.Орлов, И.В.Ганошенко, В.В.Володарский

**ВЛИЯНИЕ ХИМИЧЕСКОГО СОСТАВА И ТЕМПЕРАТУРЫ
КОНТРОЛИРУЕМОЙ ПРОКАТКИ НА КОМПЛЕКС СВОЙСТВ ЛИСТОВ
ИЗ ТРУБНОЙ СТАЛИ**

ИЧМ НАН Украины, ОАО "МК "Азовсталь"

Исследовано влияние химического состава и температуры контролируемой прокатки (КП) на комплекс свойств листов из трубной стали типа 10Г2ФБ. Получены многофакторные корреляционно–регрессионные связи основных элементов химического состава и температуры КП ($650\text{--}900^{\circ}\text{C}$) с комплексом механических свойств листов.

Постановка задачи.

При существующей практике температурные режимы КП листов назначают в зависимости от содержания отдельных элементов в плавке или условного показателя химического состава – углеродного эквивалента, что недостаточно для прогнозирования результирующего комплекса свойств или управления технологией. Решение этих задач возможно при наличии многофакторных математических моделей связи основных элементов химического состава и температуры КП с комплексом механических свойств листов, что являлось целью настоящей работы.

Исследование влияния химического состава на комплекс механических свойств стали 10Г2ФБ выполнено с использованием базы данных, полученных при производстве листов толщиной (h) от 9,5 до 18,7 мм по технологии КП, которая принята на стане 3600 МК «Азовсталь». Анализ статистических характеристик факторов химического состава выборки (более 400 плавок) показал, что содержание элементов в плавках соответствует нормативным требованиям и имеет нормальный (гауссовский) закон распределения. При этом рассчитанные [1] критические точки для плавок находятся в пределах: A_{c1} — от 710 до 720°C ; A_{c3} — от 855 до 875°C , что позволяет корректировать технологические параметры КП в относительно узких ($10\text{--}20^{\circ}\text{C}$) температурных пределах.

Методика исследования.

Исследование влияния химического состава стали 10Г2ФБ на механические свойства проводили методом корреляционно–регрессионного анализа, который включал:

- определение степени связи двух (парная корреляция) или более факторов (многофакторный корреляционный анализ);
- отбор факторов, оказывающих наиболее существенное влияние на комплекс механических свойств.

Анализ полученных коэффициентов парных связей позволил исключить возможность одновременного включения в модели сильно коррели-

рованных между собой факторов, например, между Nb и N ($r = 0,958$), C и Сэ ($r = 0,916$). С другой стороны наличие значительных парных связей между толщиной листа и таких легирующих элементов как Nb ($r = 0,952$), V ($r = 0,813$), C ($r = 0,695$) и др. выявляет определенную селекцию плавок по химическому составу при назначении параметров технологии КП листов на разные толщины. Кроме этого, следует отметить, что наличие значительных парных связей между Nb и N ($r = 0,958$), Nb и C ($r = 0,667$), V и C ($r = 0,682$) с одной стороны и между Nb и σ_t ($r = 0,742$), V и σ_t ($r = 0,732$) с другой — подтверждает действие механизма карбонитридного упрочнения стали 10Г2ФБ при КП. Наличие значительных парных связей между С_з и C ($r = 0,916$), С_з и Nb ($r = 0,603$), С_з и V ($r = 0,657$) отражает функциональную зависимость С_з от указанных элементов и, поэтому целесообразно для построения многофакторных моделей использовать кроме химического состава дополнительные комплексные факторы, например критические точки стали A_{c1}, A_{c3} и др.

Многофакторный регрессионный анализ проводили методом пошагового выбора переменной (фактора) на ПЭВМ с использованием пакета программ “STATGRAPHICS”. При пошаговом методе включение и исключение факторов осуществляли с учетом критерия Фишера (F -критерия). Критерием завершения процесса выбора факторов модели и расчета ее показателей приняли — достижение максимального значения коэффициентов детерминации (R^2) и соответственно множественной корреляции (r).

Изложение основных материалов исследования.

Полученные уравнения регрессии для оценки механических свойств и ударной вязкости листов из стали 10Г2ФБ от химического состава без учета Т_{кп} приведены ниже:

$$\sigma_r [\text{Н/мм}^2] = -42890,8 + 5076,5 \cdot \text{Mn} + 5703,8 \cdot \text{Si} + 18354,4 \cdot \text{S} + 16456,4 \cdot \text{P} + 5678,7 \cdot \text{Cr} + 4199,2 \cdot \text{Ni} + 4967,8 \cdot \text{Cu} + 7894,4 \cdot \text{Al} + 11313,4 \cdot \text{Nb} - 14558,6 \cdot \text{N} + 8308,6 \cdot \text{V} + 8471,6 \cdot \text{Ti} + 4653,0 \cdot \text{Fe} - 7104,4 \cdot \text{C}_z - 39,64 \cdot A_{c3} - 4,62 \cdot h; \\ r = 0,8050; \quad (1)$$

$$\sigma_b [\text{Н/мм}^2] = -393208,8 + 7278,2 \cdot \text{C} + 4961,9 \cdot \text{Mn} + 3804,7 \cdot \text{Si} + 8063,7 \cdot \text{P} + 4496,6 \cdot \text{Cr} + 4499,2 \cdot \text{Ni} + 4348,0 \cdot \text{Cu} + 4446,1 \cdot \text{Al} + 8621,1 \cdot \text{Nb} + 20471,5 \cdot \text{N} + 4932,6 \cdot \text{V} + 5804,5 \cdot \text{Ti} + 3847,7 \cdot \text{Fe} - 6518,1 \cdot \text{C}_z + 26,98 \cdot A_{c1} - 11,78 \cdot A_{c3} - 4,67 \cdot h; \\ r = 0,5983; \quad (2)$$

$$\delta_5 [\%] = -12989,5 + 1182,8 \cdot \text{C} + 242,89 \cdot \text{Si} + 1428,3 \cdot \text{S} - 1272,6 \cdot \text{P} + 227,62 \cdot \text{Cr} + 89,78 \cdot \text{Ni} + 115,33 \cdot \text{Cu} - 959,39 \cdot \text{Nb} - 4476,1 \cdot \text{N} - 475,31 \cdot \text{Ti} + 160,21 \cdot \text{Fe} + 776,74 \cdot \text{C}_z - 5,52 \cdot A_{c1} - 0,26 \cdot h; \\ r = 0,9447; \quad (3)$$

$$\text{KCV}_{20} [\text{Дж/см}^2] = 1061742,0 + 9705,9 \cdot \text{C} - 7966,6 \cdot \text{Mn} - 11420,0 \cdot \text{Si} - 30636,5 \cdot \text{S} - 17588,8 \cdot \text{P} - 8325,1 \cdot \text{Cr} - 9173,5 \cdot \text{Ni} - 10317,5 \cdot \text{Cu} - 12461,1 \cdot \text{Al} -$$

$$6544,4 \cdot \text{Nb} - 12396,5 \cdot \text{V} - 10463,2 \cdot \text{Ti} - 10813,9 \cdot \text{Fe} - 14201,3 \cdot \text{C}_3 + 22,24 \cdot A_{c3} - \\ 6,20 \cdot h; \quad r = 0,5382; \quad (4)$$

$$\text{KCU}_{-60}[\text{Дж}/\text{см}^2] = -361863,0 + 37630,0 \cdot \text{C}] + 6610,3 \cdot \text{Mn} - 14398,6 \cdot \text{S} + \\ 14398,6 \cdot \text{P} + 3215,9 \cdot \text{Cr} + 6603,3 \cdot \text{Ni} + 2236,2 \cdot \text{Cu} - 4620,1 \cdot \text{Al} - 2519,83 \cdot \text{Nb} + \\ 13654,8 \cdot \text{N} - 7612,2 \cdot \text{V} + 2290,8 \cdot \text{Fe} - 13891,1 \cdot \text{C}_3 + 166,67 \cdot A_{c1} + 64,25 \cdot (A_{c1} - \\ A_{c3}); \quad r = 0,4475. \quad (5)$$

Как следует из приведенных уравнений (1) – (5), только Nb, Mn, P, Cr и Ni присутствуют во всех моделях при среднем уровне значимости (критерий F – ввода равен $20,0 \div 5,0$). Из упрочняющих факторов наиболее значительно проявилось влияние Nb, C, P и Al. Во всех моделях кроме KCU_{-60} проявилось влияние толщины листа (h). При рассмотрении влияния факторов химического состава на ударную вязкость следует отметить отрицательное влияние S, Cr и C (F – ввода равен $5,0 \div 3,0$) и значительное положительное влияние Nb, Mn и Ni (F – ввода равен $35,0 \div 15,0$).

Количество задействованных факторов в моделях составило от 14 до 17, при этом коэффициенты множественной корреляции находятся в диапазоне от 0,45 до 0,95. Ввод в корреляционные модели T_{kp} первоначально осложнился недостатком и достоверностью данных о ее значениях в выборке, в связи с чем, провели работу по вводу в разработанные модели (1) – (5) — T_{kp} , как основного технологического фактора. При этом исходили из следующих основных посылок:

— структурная формула зависимости свойств от комплекса факторов может быть выражена в следующем виде:

$$\sigma_i = f_i(x/c) + \Delta_i, \quad (6)$$

где σ_i — анализируемое свойство листов (σ_t , σ_b , δ_5 и т.д.);

$f_i(x/c)$ — факторы влияния химического состава;

Δ_i — разность между экспериментальными и рассчитанными по моделям (1–5) значениями свойств (неучтенные факторы влияния — T_{kp} , V_{oxh} и др.). При этом определенная часть (Δ_i) может быть отнесена за счет влияния T_{kp} , а остальная — за счет других неучтенных факторов (O_i), т.е. $\Delta_i = \phi_i(T_{kp}) + O_i$.

Известны количественные закономерности влияния T_{kp} на комплекс механических свойств для отдельных химических составов стали 10Г2ФБ [2–3]. Так в работе [2] приведена закономерность влияния T_{kp} на размер ферритного зерна, переходную температуру и предел текучести листов толщиной 10 мм из стали содержащей 0,12% С, 1,3% Mn, 0,3% Si, 0,2% Nb и 0,06% V. Этот экспериментальный материал, дополненный нашими [4] данными по КП на стане 3600 МК “Азовсталь”, был взят в качестве исходного для ввода T_{kp} в разработанные корреляционные модели, как фактора, существенно влияющего на комплекс свойств стали 10Г2ФБ (см. рис.1).

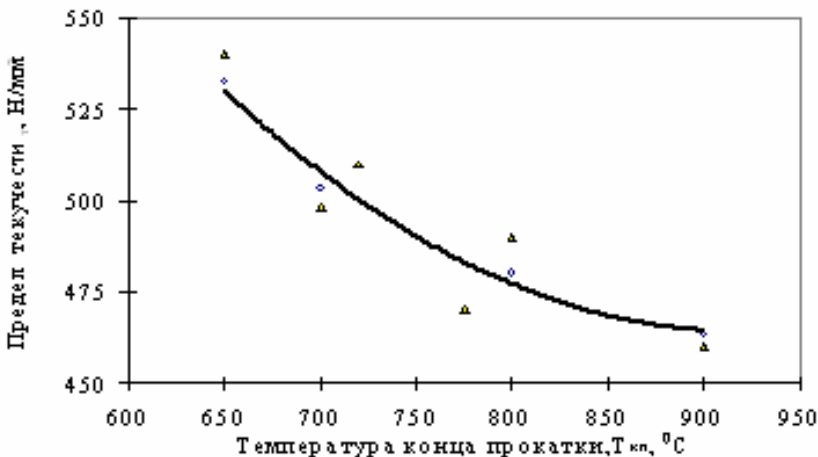


Рис.1. Зависимость предела текучести от температуры конца прокатки стали 10Г2ФБ: о — данные [2]; Δ — данные ИЧМ [4].

Согласно ТИ-232-186-2003 ОАО МК «Азовсталь» температура конца прокатки листов из стали 10Г2ФБ (Х56 – Х60) в анализируемой выборке может быть в интервале 680 – 800°С в соответствии со значениями С, плавок. Учитывая колебания температуры по длине (ширине) раската и ошибку измерения температуры в производственных условиях, этот диапазон вариации T_{kn} фактически составляет 650 – 850°С при среднестатистическом ее значении для всей выборки — 750°С.

Приведенная зависимость σ_t от T_{kn} аппроксимирована уравнением:

$$\sigma_t = 0,0009 \cdot T_{kn}^2 - 1,669 \cdot T_{kn} + 1231,2 \quad (7)$$

Ввод зависимости свойств от T_{kn} в многофакторные модели (1–5) проводили по следующему алгоритму:

- рассчитывали, например, значения σ_t по корреляционному уравнению (1) для химического состава стали 10Г2ФБ [2] (см. выше);
- рассчитывали значения σ_t по уравнению (7) для температуры конца прокатки средней по выборке ($T_{kn} = 750^{\circ}\text{C}$);
- находили разность полученных значений σ_t , которая фактически является поправкой константы в модели для σ_t (1) без учета влияния T_{kn} .

При этом исходили из условия, что значения σ_t , рассчитанные по различным моделям должны быть равны между собой при идентичности заданных факторов в обоих уравнениях (1) и (7) (т.е. при одинаковых химическом составе и $T_{kn} = 750^{\circ}\text{C}$). С учетом полученной поправки модель зависимости предела текучести от химического состава и T_{kn} принимает вид:

$$\sigma_t = 671,56 + 6626,69 \cdot C + \dots + 0,0009 \cdot T_{kn}^2 - 1,669 \cdot T_{kn} + O_i, \quad (8)$$

где $f_i(x/c) = 671,56 + 6626,69 \cdot C + \dots;$

$$\varphi(T_{kp}) = 0,0009 \cdot T_{kp}^2 - 1,669 \cdot T_{kp};$$

$O_i = 1231,7 - 671,56 \approx 560$ поправка константы модели равная разности констант уравнений (7) и (1).

Результаты исследования.

По полученной модели (8) методом подбора неизвестного параметра (T_{kp}), были рассчитаны температуры конца прокатки для каждого химического состава плавок анализируемой выборки. При этом исходили из условия отнесения разности между экспериментальными и рассчитанными по модели (8) значениями σ_t за счет T_{kp} на 20%. Величину 20% приняли исходя из анализа рис. 1, приняв ее пропорционально влиянию T_{kp} напредел текучести, т.е. $(540-460)/540 \approx 0,15$ или 15–20%, где 540 и 460 Н/мм² максимальное и минимальное значение σ_t соответственно.

Полученные значения T_{kp} , округленные с точностью до 5°С, были использованы в качестве нового независимого фактора для окончательной коррекции моделей (1–5) зависимости механических свойств от химического состава и T_{kp} . В результате были получены корреляционные модели (9) – (13) для всего комплекса свойств с учетом T_{kp} .

$$\sigma_t[\text{Н/мм}^2] = 169,1 + 975,4 \cdot C - 61,74 \cdot Si - 181,2 \cdot Cr - 219,6 \cdot Cu + 212,5 \cdot Al + 1531,6 \cdot Nb - 1015,7 \cdot V - 636,8 \cdot Ti + 2,23 \cdot A_{c3} - 4,405 \cdot T_{kp} + 0,002719 \cdot T_{kp}^2 + 18,31 \cdot h - 0,5112 \cdot h^2; \quad r = 0,9119; (9)$$

$$\sigma_b[\text{Н/мм}^2] = -27909,5 + 1762,5 \cdot C + 400,3 \cdot Mn - 583,8 \cdot Si - 11390,6 \cdot S - 761,5 \cdot Cr + 771,4 \cdot Ni - 756,3 \cdot Al + 1952,9 \cdot Nb + 31270,0 \cdot N - 1705,5 \cdot V - 434,3 \cdot Ti + 35,21 \cdot A_{c1} + 4,002 \cdot A_{c3} - 2,155 \cdot T_{kp} + 0,001267 \cdot T_{kp}^2 + 7,0978 \cdot h - 0,2291 \cdot h^2; \quad r = 0,7466; (10)$$

$$\delta_5[\%] = 80,53 + 10,39 \cdot Mn + 370,79 \cdot S - 17,61 \cdot Cr + 49,80 \cdot Ni - 171,73 \cdot Nb - 120,08 \cdot V - 106,095 \cdot Ti - 6,1828 \cdot h - 0,1741 \cdot h^2; \quad r = 0,9433; (11)$$

$$KCV_{-20}[\text{Дж/см}^2] = 290,03 + 79,718 \cdot Mn - 13836,4 \cdot S - 388,156 \cdot Cr + 319,38 \cdot Ni - 487,11 \cdot Al + 1148,22 \cdot Nb - 1885,9 \cdot V + 22,243 \cdot A_{c3} + 0,000082 \cdot T_{kp}^2 - 3,2849 \cdot h; \quad r = 0,5275; (12)$$

$$KCU_{-60}[\text{Дж/см}^2] = 614,43 + 66,63 \cdot Mn + 60,29 \cdot Si + 3562,03 \cdot S + 185,606 \cdot Cr - 1204,58 \cdot Cu - 486,728 \cdot Al - 2015,54 \cdot Nb - 5538,63 \cdot N - 2980,4 \cdot V - 2,9473 \cdot T_{kp} + 0,002102 \cdot T_{kp}^2; \quad r = 0,4196. (13)$$

Адекватность разработанных моделей зависимости механических свойств и ударной вязкости от химического состава и T_{kp} является достаточно высокой (см. рис.2.)

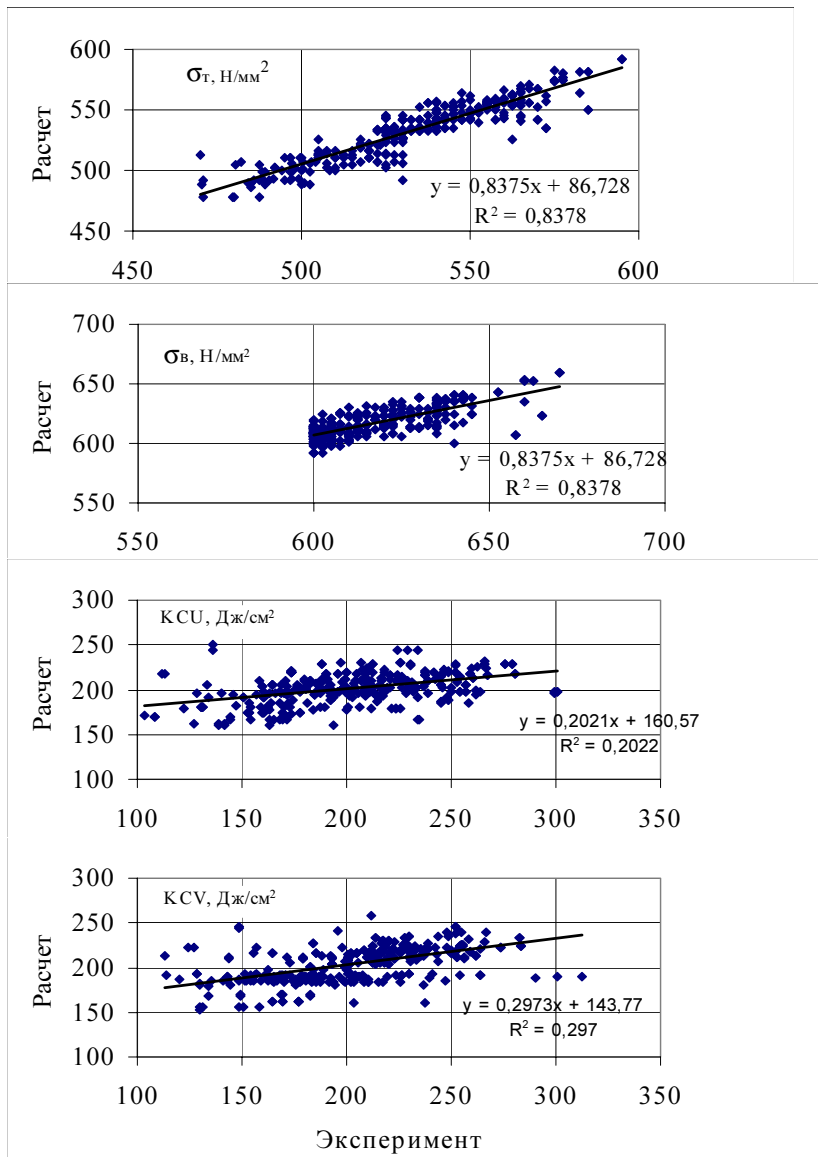


Рис.2. Адекватность корреляционных моделей прочностных свойств (9–10) и ударной вязкости (12–13) листовой стали 10Г2ФБ

Выводы.

Из сравнения данных моделей (1 – 5) и (9 – 13) видно, что включение в корреляционные модели T_{kp} , в качестве дополнительного фактора, существенно повысило коэффициенты множественной корреляции (r^2) прочностных характеристик механических свойств и в меньшей степени ударной вязкости. Для относительного удлинения T_{kp} , как фактор влияния оказался малозначимым. Следует отметить уменьшение количества значимых факторов в разработанных моделях в сравнении с уравнениями (1–5) при более высоких показателях коэффициентов множественной корреляции.

1. Винокур Б.Б. Пилющенко В.Л. и др. Структура конструкционной легированной стали. // –М.: Металлургия. – 1979.– 183с.
2. Погоржельский В.И., Литвиненко Д.А., Матросов Ю.И. и др. Контролируемая прокатка. // –М.: Металлургия. –1979.– 126с.
3. Погоржельский В.И. Контролируемая прокатка непрерывнолитого металла. //– М.: Металлургия. –1986.– 150с.
4. Влияние упрочняющей термической обработки с прокатного нагрева на свойства листов малоперлитных сталей./ В.И. Спиваков, В.Я. Савенков, А.Н. Заннес, Э.А. Орлов. // Металлургическая и горнорудная промышленность. –1979.– № 4. – С.19–21.

Статья рекомендована к печати д.т.н., проф. И.Г.Узовым